

Analyse de structures fibreuses dans un contexte de procédés catalytiques

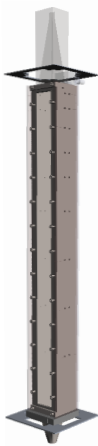
Pierre Gueth

Laboratoire d'InfoRmatique en Image et Systèmes d'information
LIRIS UMR 5205 CNRS/INSA de Lyon/Université Claude Bernard Lyon 1/Université
Lumière Lyon 2/École Centrale de Lyon
INSA de Lyon, bâtiment J. Verne
20, Avenue Albert Einstein - 69622 Villeurbanne cedex
<http://liris.cnrs.fr>

17 juillet 2015

Mousses catalytiques

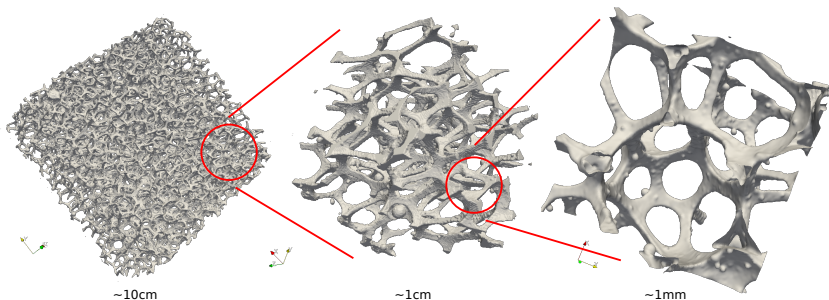
- Catalyseur gaz/gaz ou gaz/solide
- Matériaux variés
 - métal (Cu, Al)
 - plastique (polyuréthane)
- Rigidité massique élevée
- Forte surface volumique
- Pont endo ou exothermique
- Faible perte de charge



Banc thermique LGPC

Mousses catalytiques

- Fabrication difficilement répétable
- Importantes variations intra mousse
- Géométrie complexe non planaire
- Effets d'échelles multiples



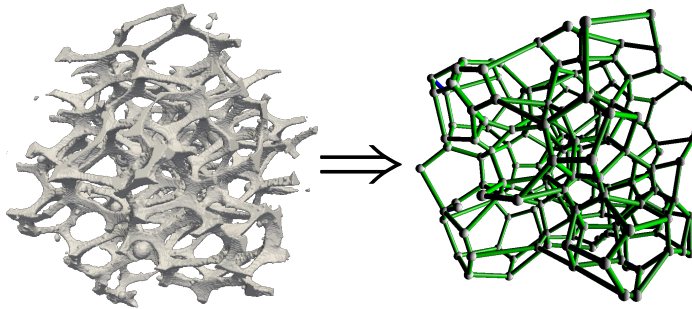
Modélisation graphe métrique

Caractéristiques des mousses

- structure topologique : cellule, trou et cycle
- géométrie : distance, surface et volume

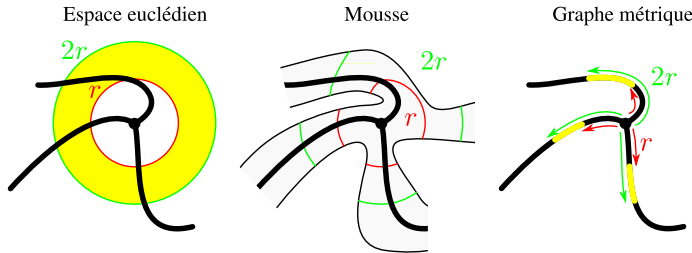
Modèle graphe métrique

- Graphe = nœuds + arêtes
- Métrication du graphe = longueur des arêtes
- Variété différentielle 1D



Modélisation physique

- Variété \Rightarrow Champs et opérateurs linéaires tensoriels
- Distance géodésique = longueur du plus court chemin



- Projection des opérateurs de la mousse sur le modèle
- Résolution équations physiques linéaires classiques
 - Diffusion thermique
 - Propagation acoustique
 - Résistivité électrique

Outils

■ Amincissement homotopique

- Squelettisation itérative guidée par carte de distance
- Conservation de la topologie / réduction de la taille

■ Calcul extérieur discret (DEC)

- Schéma de discréttisation moderne simple d'utilisation
- Opérateurs linéaires classiques ∇ Δ $\nabla \cdot$ $\nabla \wedge$
- Théorème de Stokes \Rightarrow solution unique

■ Distance géodésique

- Équation de chaleur [CRANE13]
- Earth mover's distance [SOLOMON14]

■ Estimation du graphe métrique [AANJANEYA12]

■ Carte d'épaisseur

- Champs d'épaisseur et de section sur le graphe métrique

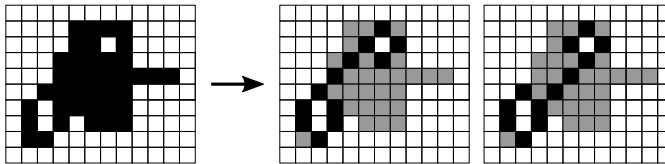
Amincissement homotopique

Simplification de la structure sans changement de topologie

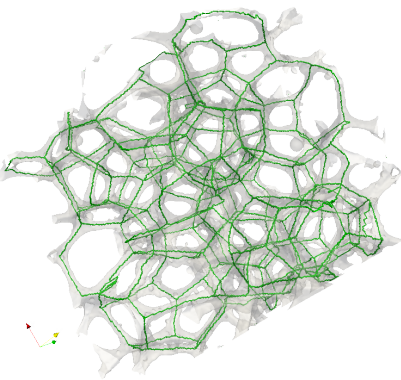
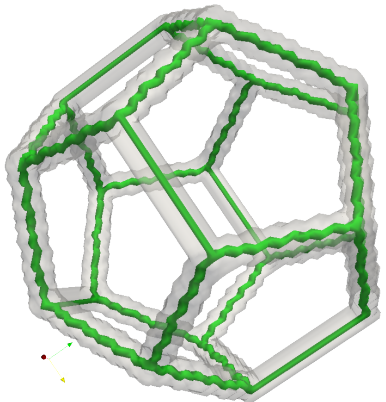
- Processus d'érosion itératif
- Pas de création ni d'obstruction de trous
- L'objet simplifié ultime est le squelette topologique
- Guidée par carte de distance
- Solution non unique

Invariant topologique

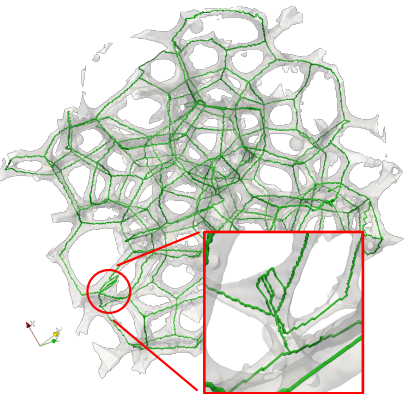
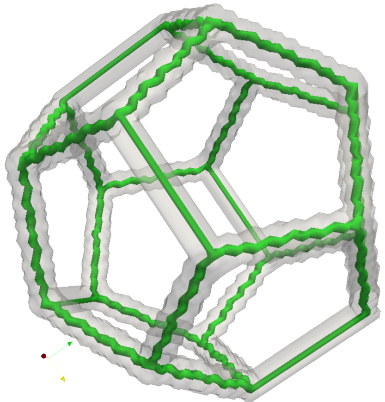
- simple \Leftrightarrow ne change pas la topologie si enlevé
- test de simplicité local \Rightarrow efficace



Amincissement homotopique

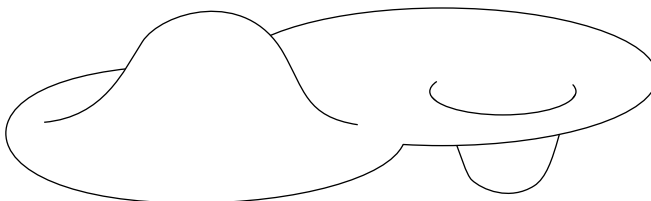


Amincissement homotopique



Variété Riemannienne

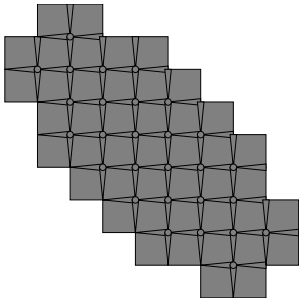
- Espace courbe et continu M avec bord ∂M
- Points p, q
- Système de coordonnées x^1, x^2
- 0-forme \Leftrightarrow champ scalaire
- 1-forme \Leftrightarrow champ de vecteurs $\in T_p M$ espace tangent



Calcul extérieur discret (DEC)

- Discrétisation sur complexe cellulaire
- 0-cellule \Leftrightarrow point, 1-cellule \Leftrightarrow arête, ...
- k-cellules portent les valeurs des k-formes
- Discrétisation exacte des opérateurs de base (Stokes)

$$\int_M d\omega = \int_{\partial M} \omega$$



Opérateurs classiques

Gradient	$\nabla = d$
Divergence	$\nabla \cdot = *d*$
Rotationnel	$\nabla \wedge = d*$
Laplacien	$\Delta = *d * d$

Géodésique : Équation de la chaleur [CRANE13]

1. Flux chaleur

$$\frac{\partial u}{\partial t} = \Delta u$$

$$t \ll 1$$

$$u(t=0) = u_0$$

2. Normalisation

$$X = \frac{\nabla u}{|\nabla u|}$$

3. Équation Poisson

$$\Delta \phi = \nabla \cdot X$$

4. $u_0 = \delta \Rightarrow \phi$ distance

Géodésique : Équation de la chaleur [CRANE13]

1. Flux chaleur

$$\frac{\partial u}{\partial t} = \Delta u$$

$$t \ll 1$$

$$u(t=0) = u_0$$

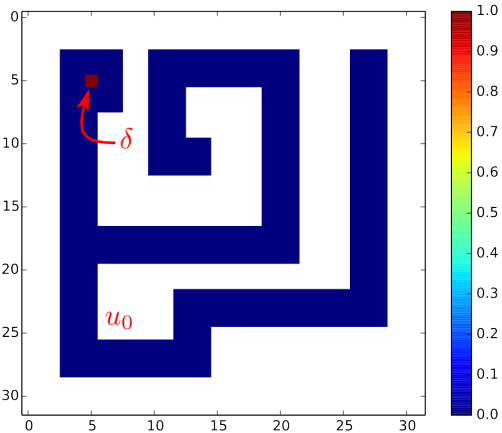
2. Normalisation

$$X = \frac{\nabla u}{|\nabla u|}$$

3. Équation Poisson

$$\Delta \phi = \nabla \cdot X$$

4. $u_0 = \delta \Rightarrow \phi$ distance



Géodésique : Équation de la chaleur [CRANE13]

1. Flux chaleur

$$\frac{\partial u}{\partial t} = \Delta u$$

$$t \ll 1$$

$$u(t=0) = u_0$$

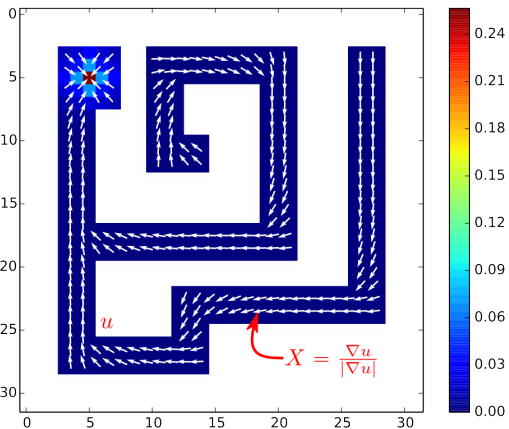
2. Normalisation

$$X = \frac{\nabla u}{|\nabla u|}$$

3. Équation Poisson

$$\Delta \phi = \nabla \cdot X$$

4. $u_0 = \delta \Rightarrow \phi$ distance



Géodésique : Équation de la chaleur [CRANE13]

1. Flux chaleur

$$\frac{\partial u}{\partial t} = \Delta u$$

$$t \ll 1$$

$$u(t=0) = u_0$$

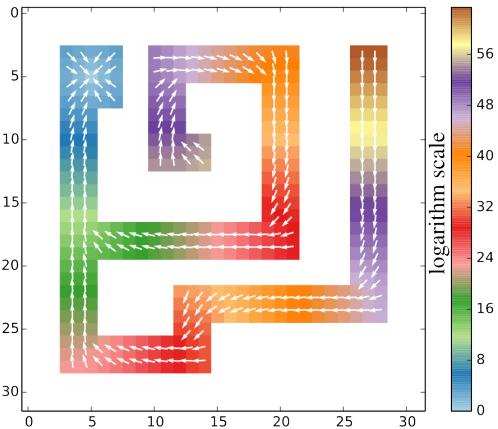
2. Normalisation

$$X = \frac{\nabla u}{|\nabla u|}$$

3. Équation Poisson

$$\Delta \phi = \nabla \cdot X$$

4. $u_0 = \delta \Rightarrow \phi$ distance



Géodésique : Équation de la chaleur [CRANE13]

1. Flux chaleur

$$\frac{\partial u}{\partial t} = \Delta u$$

$$t \ll 1$$

$$u(t=0) = u_0$$

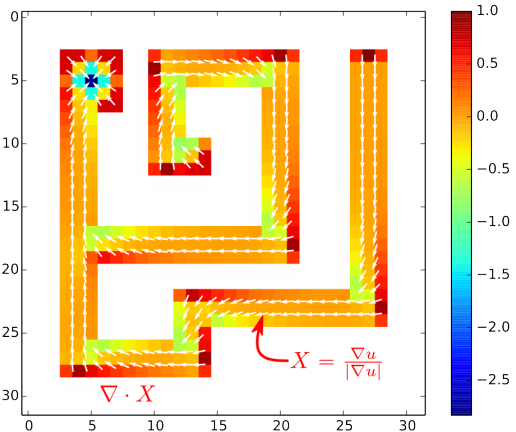
2. Normalisation

$$X = \frac{\nabla u}{|\nabla u|}$$

3. Équation Poisson

$$\Delta \phi = \nabla \cdot X$$

4. $u_0 = \delta \Rightarrow \phi$ distance



Géodésique : Équation de la chaleur [CRANE13]

1. Flux chaleur

$$\frac{\partial u}{\partial t} = \Delta u$$

$$t \ll 1$$

$$u(t=0) = u_0$$

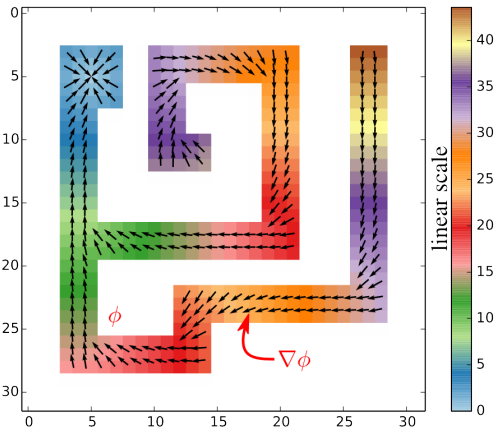
2. Normalisation

$$X = \frac{\nabla u}{|\nabla u|}$$

3. Équation Poisson

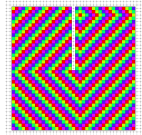
$$\Delta \phi = \nabla \cdot X$$

4. $u_0 = \delta \Rightarrow \phi$ distance

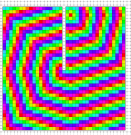


Géodésique : Équation de la chaleur [CRANE13]

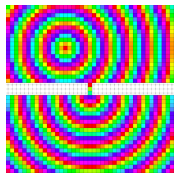
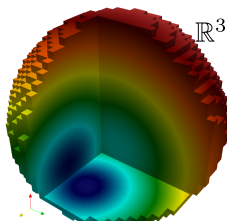
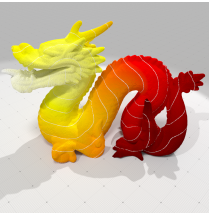
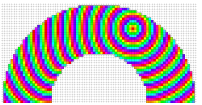
Dijkstra



3/4 Dijkstra

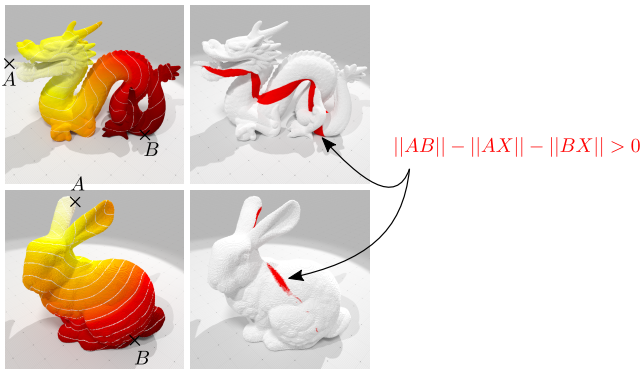


Chaleur

 \mathbb{R}^2  $M \subset \mathbb{R}^3$

Géodésique : Équation de la chaleur [CRANE13]

- Paramètre de “temps” délicat à régler
- Pas de respect de l’inégalité triangulaire
- Rapide
- Calcul direct des cartes de distance



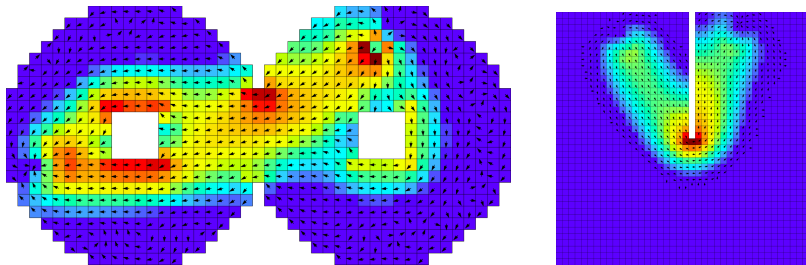
Géodésique : Earth mover's distance [SOLOMON14]

EMD résout le transport le plus petit en norme 1-Wasserstein

$$\inf_T \int_M d(x, T(x)) \, d\mu(x), \quad T(\mu) = \nu \Leftrightarrow \inf_J \int_M |J(x)| \, dx, \quad \nabla \cdot J = \mu - \nu$$

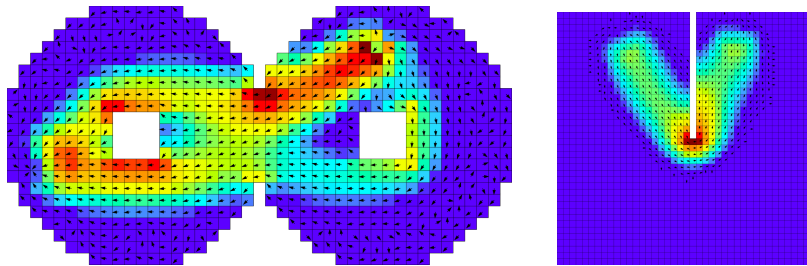
1. Décomposition de Helmholtz $J = \nabla \alpha + \nabla \wedge \beta + \gamma$
2. Poisson $\Delta \alpha = \nabla \cdot J$
3. Trouvez les K plus petites valeurs propres de Δ
4. $\nabla \wedge \beta + \gamma$ est orthogonal au sous espace généré par les vecteurs propres de Δ
5. $\forall k \leq K$, Projeter itérativement $\nabla \wedge \beta + \gamma$ sur les orthogonaux des k plus petits vecteurs propres
6. $K \uparrow \Rightarrow$ le transport converge vers son optimal

Géodésique : Earth mover's distance [SOLOMON14]



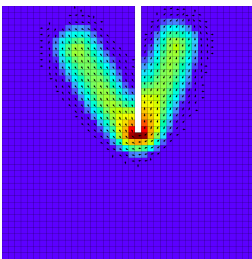
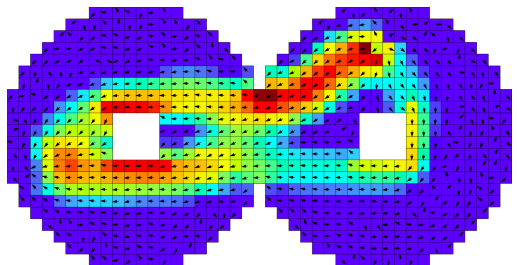
25 valeurs propres

Géodésique : Earth mover's distance [SOLOMON14]



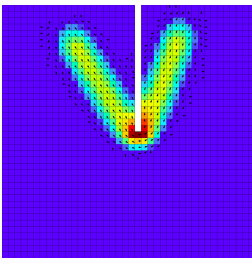
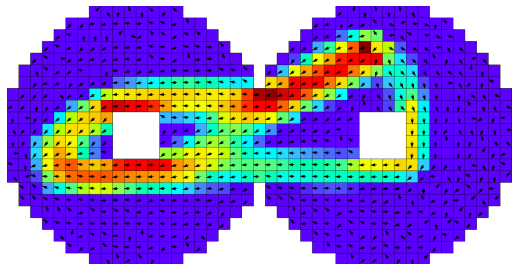
50 valeurs propres

Géodésique : Earth mover's distance [SOLOMON14]



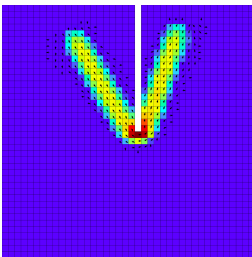
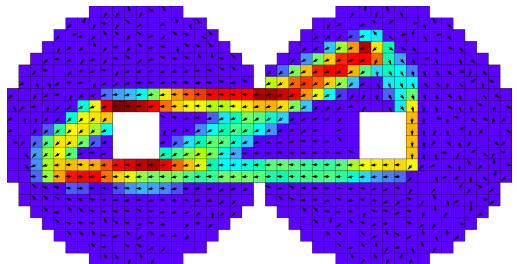
100 valeurs propres

Géodésique : Earth mover's distance [SOLOMON14]



200 valeurs propres

Géodésique : Earth mover's distance [SOLOMON14]



400 valeurs propres

Géodésique : Earth mover's distance [SOLOMON14]

- Respect l'inégalité triangulaire
- K plus petites valeurs propres \Rightarrow Restarted Arnoldi ARPACK
- Distance point à point
- Coût transport entre distributions

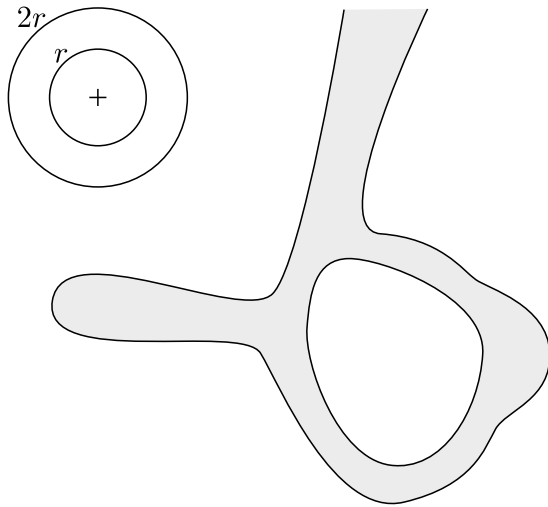
Estimation du graphe métrique [AANJANEYA12]

- Estimation de la valence de chaque point

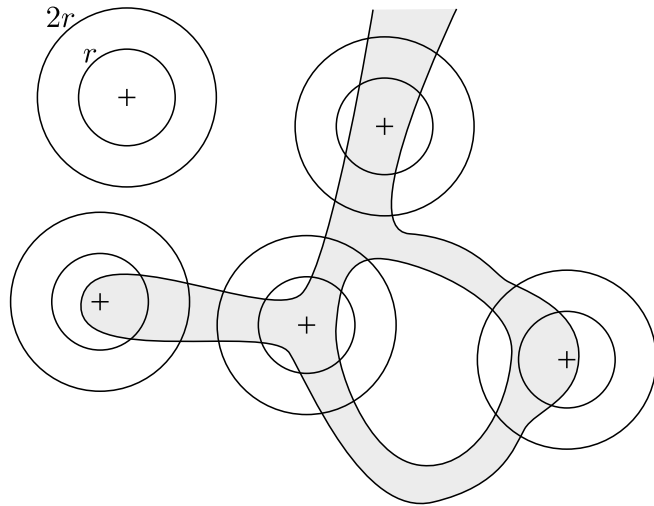
Degré = nombre de composantes connexes dans une calotte sphérique centrée au point d'intérêt

- Les amas de pixels de degré constant représentent les éléments du graphe métrique
 - degré = 0 \Leftrightarrow nœud isolé
 - degré = 1 \Leftrightarrow nœud au bout d'une arête pendante
 - degré = 2 \Leftrightarrow arête
 - degré > 2 \Leftrightarrow nœud
- Preuve de convergence si les piliers de la mousse sont assez effilés

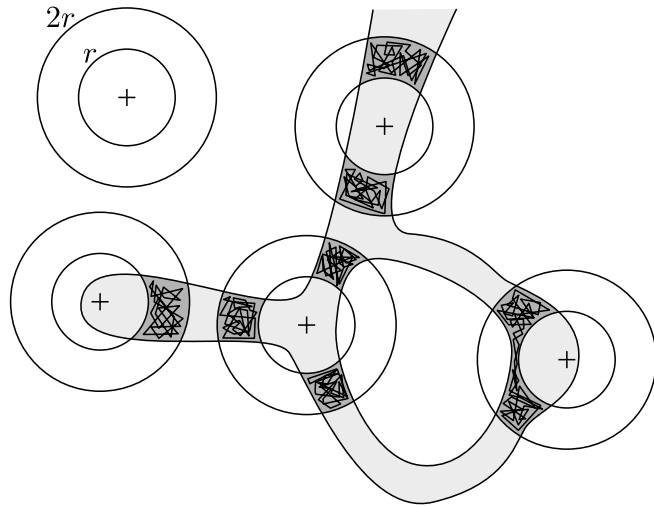
Estimation du graphe métrique [AANJANEYA12]



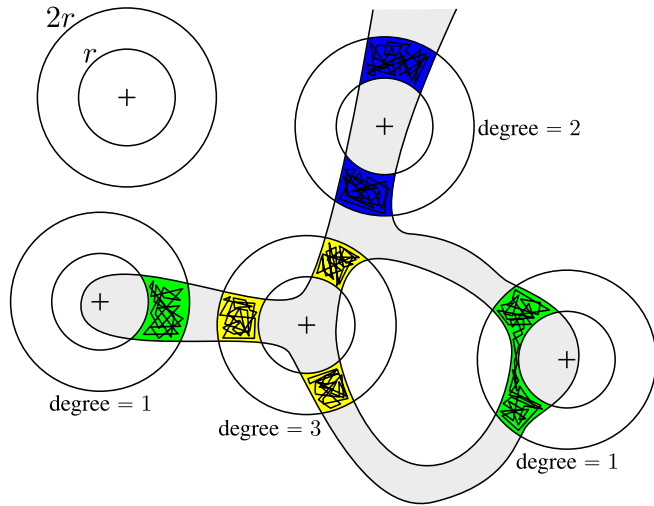
Estimation du graphe métrique [AANJANEYA12]



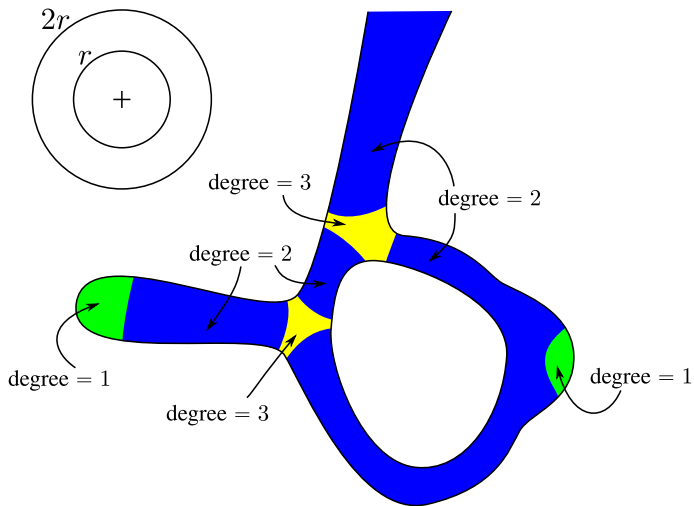
Estimation du graphe métrique [AANJANEYA12]



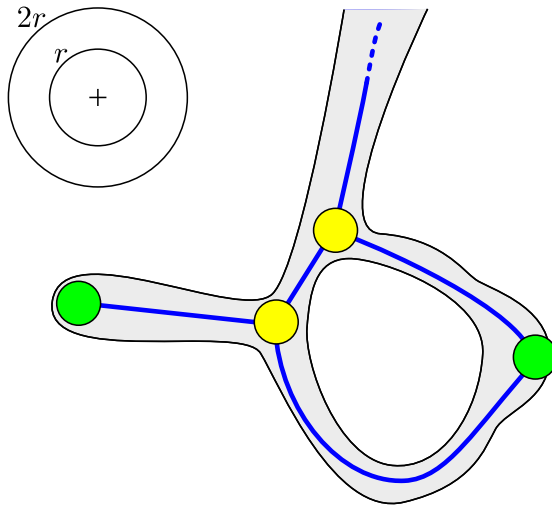
Estimation du graphe métrique [AANJANEYA12]



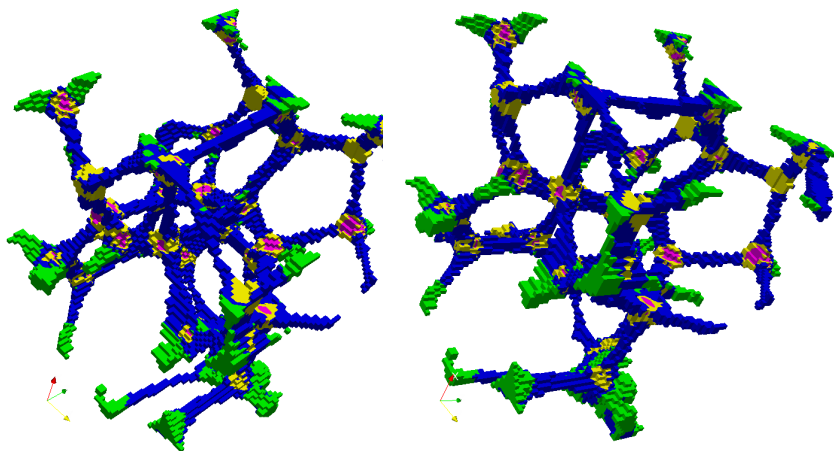
Estimation du graphe métrique [AANJANEYA12]



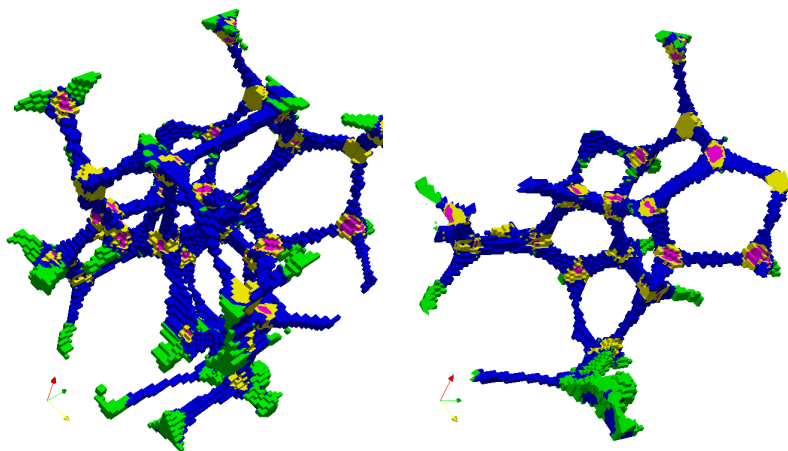
Estimation du graphe métrique [AANJANEYA12]



Estimation du graphe métrique [AANJANEYA12]



Estimation du graphe métrique [AANJANEYA12]

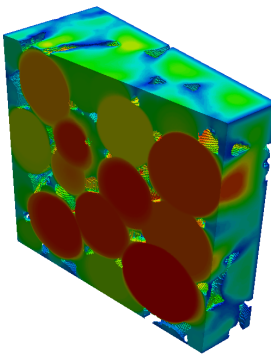
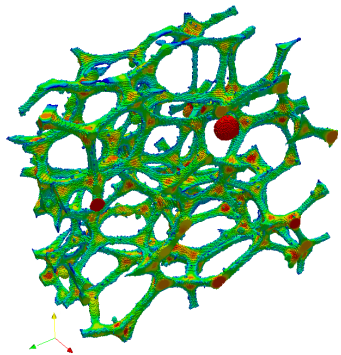


Carte d'épaisseur

Épaisseur = rayon de la boule maximale contenant le point

- Calculé en fusionnant les boules de la carte de distance
- Estimation du volume et de la section des arêtes du graphe
- Calculable sur le complémentaire pour l'analyse des cavités

Carte d'épaisseur

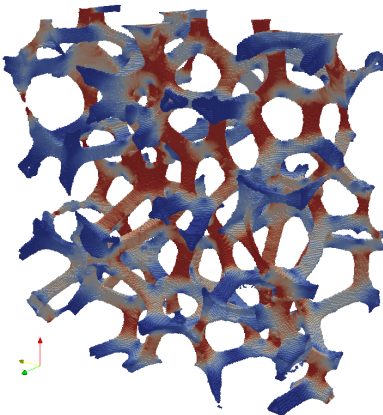
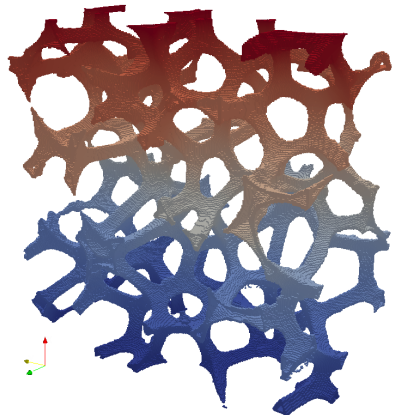


Résolution de l'équation de la chaleur

- Equation scalaire second ordre $\Delta\phi = \rho$
- Potentiel ϕ = température, tension, densité, ...
- Intensité $||\nabla\phi||$ = chaleur, courant électrique, écoulement, ...
- Conditions aux bord mixtes
 - Neumann = flux nul à travers le bord
 - Dirichlet = spécification du potentiel

$$\phi = \phi_{\text{homogène}} + \phi_{\text{spécifique}}$$

Résolution de l'équation de la chaleur



$1358000 \sigma^0 \Rightarrow 300s$ 1CPU@2.6GHz

Implémentation cpp générique des outils

- Dimensions ambiante et embarquée arbitraires
- Courbure calculée via estimateurs différentiels DSS (WIP)
- Module DEC inclus dans DGtal
- Avec solveurs linéaires issus de Eigen et ARPACK (F77 FTW)
- Open source

DGtal

